

ОПТИМИЗАЦИЯ АЛГОРИТМОВ ВЕКТОРНОГО УПРАВЛЕНИЯ АСИНХРОННЫМ ДВИГАТЕЛЕМ ПРИ БОЛЬШИХ СКОРОСТЯХ С УЧЕТОМ НЕЛИНЕЙНОСТЕЙ

Потапенко Е.М., Потапенко Е.Е., Кулинич Э.М.
Запорожский национальный технический университет, Украина

Вступление

Опыт эксплуатации асинхронных двигателей с короткозамкнутым ротором (АД) показывает, что такие нелинейности, как насыщение магнитной цепи и ограничения по току и напряжению статора, оказывают существенное влияние на динамические и статические характеристики АД. Имеются работы [1-4], где проведены аналитические исследования режимов векторного управления АД, когда токи и (или) напряжения находятся на ограничениях. Однако при дополнительном учете магнитного насыщения исследования проводились только путем численного моделирования.

В работе [5] авторами была предложена новая простая, но точная математическая модель насыщения магнитной цепи. Там же с учетом этой модели аналитически синтезированы оптимальные программные составляющие статорного тока в синхронной системе координат, минимизирующие его модуль при векторном управлении. Были получены энергетические и динамические характеристики для случая, когда модуль статорного тока $|i| \leq i_{\max}$ (i_{\max} - ограничение тока). При этом ограничение по статорному напряжению не учитывалось. Это ограничение оказывает существенное влияние при больших скоростях ротора АД, когда сильно влияние противоЭДС.

Целью данного исследования является синтез составляющих в синхронной системе координат программного статорного тока, минимизирующих модуль статорного напряжения при заданном электромагнитном моменте с учетом насыщения магнитной цепи АД и ограничения по току и напряжению при большом модуле скорости ротора АД.

Оптимизация системы при работе с большими скоростями

При больших скоростях ротора АД падением напряжения на активном сопротивлении статора можно пренебречь по сравнению с противоЭДС. Тогда в стационарном режиме можно полагать, что проекции напряжения (u) и тока (i) статора АД в синхронной системе координат (d, q) связаны соотношениями [1-4].

$$u_d = -\omega_0 \sigma L_s i_q, \quad u_q = \omega_0 L_s i_d, \quad (1)$$

а электромагнитный момент (m) определяется выражением

$$m = n(1 + \sigma_r)^{-1} L_m i_d i_q. \quad (2)$$

В (1) и (2) ω_0 - синхронная частота (скорость вращения вектора потокосцепления ротора в стартовой системе координат); n - количество пар полюсов; σ, σ_r - коэффициенты рассеивания всего АД и ротора; i_d, i_q - намагничивающая и моментная составляющие тока; L_m, L_s - взаимная индуктивность статора и ротора и индуктивность статора. В соответствии с [5]

$$L_c = L_{c0}(1 + a^2 i_d^2)^{-1/2}, \quad c = m, s, r, \quad (3)$$

индекс "0" указывает на значения индуктивностей на линейном участке кривой намагничивания, индекс "r" - соответствует ротору, "s" - статору, "m" - взаимной индуктивности, a - эмпирическая константа. При не учете насыщения магнитной цепи следует полагать $a=0$.

Ограничение по напряжению зададим в виде

$$u_d^2 + u_q^2 = u^2 \leq u_{\max}^2. \quad (4)$$

Подстановка (1) с учетом (3) в (4) дает уравнение

$$(\sigma i_q)^2 + i_d^2 = \left(\frac{u}{\omega_0 L_{s0}}\right)^2 (1 + a^2 i_d^2). \quad (5)$$

При фиксированном $|u|$ и малых i_d или при пренебрежении магнитным насыщением ($a=0$) уравнение (5) на плоскости (i_d, i_q) описывает набор эллипсов, вытянутых из-за соотношения $\sigma < 0$ вдоль оси $0i_q$ (рисунок). Каждый из эллипсов соответствует определенному значению ω_0 . Эллипсы, соответствующие большим значениям $|\omega_0|$, лежат внутри эллипсов с меньшими значениями $|\omega_0|$. Т.к. $i_d \geq 0$, то рабочей зоной является правая полуось. Как следует из (5), влияние магнитного насыщения проявляется в вытягивании эллипсов вдоль оси $0i_d$.

С помощью (2), (3) исключим i_q из (5). Тогда

$$|m| = \chi \frac{i_d}{\sigma} \sqrt{\left(\frac{u}{\omega_0 L_{s0}}\right)^2 - \frac{i_d^2}{1 + a^2 i_d^2}}, \quad \chi = \frac{n L_m 0}{1 + \sigma_r}. \quad (6)$$

Поскольку дискриминант в (6) не должен быть отрицательным, то должно выполняться соотношение

$$\left(\frac{u}{\omega_0 L_{s0}}\right)^2 \geq \frac{i_d^2}{1 + a^2 i_d^2}. \quad (7)$$

Экстремальные значения m в зависимости от i_d можно найти из выражения $\frac{\partial |m|}{\partial i_d} = 0$ или, что то

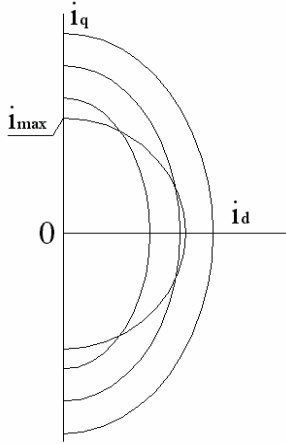


Рисунок 1

же самое, из выражения $\frac{\partial (m)^2}{\partial (i_d^2)} = 0$. Второе равенство дает уравнение

$$a^2 \left[\left(\frac{au}{\omega_0 L_{s0}} \right)^2 - 1 \right] i_d^4 + 2 \left[\left(\frac{au}{\omega_0 L_{s0}} \right)^2 - 1 \right] i_d^2 + \left(\frac{u}{\omega_0 L_{s0}} \right)^2 = 0 \quad (8)$$

откуда

$$i_d = \frac{1}{a} \sqrt{-1 + \left[1 - \left(\frac{au}{\omega_0 L_{s0}} \right)^2 \right]^{-1/2}} \quad (9)$$

Из (9) следует, что

$$|\omega_0| > \frac{a|u|}{L_{s0}} \quad (10)$$

По выражениям (5) и (9) можно получить

$$i_q = \frac{1}{\sigma a} \sqrt{1 - \sqrt{1 - \left(\frac{au}{\omega_0 L_{s0}} \right)^2}} \text{sign } m \quad (11)$$

Как следует из (9), (11), при возрастании $|\omega_0|$ и фиксированном u $i_d, i_q \rightarrow 0$. При достаточно малом $(u\omega_0^{-1})^2$ из (9) и (11) можно записать

$$i_d \approx \frac{1}{a} \sqrt{-1 + 1 + \frac{1}{2} \left(\frac{au}{\omega_0 L_{s0}} \right)^2} = \frac{|u|}{\sqrt{2} |\omega_0| L_{s0}} \quad (12)$$

$$i_q \approx \sigma^{-1} i_d \text{sign } m \quad (13)$$

Приближенные выражения (12), (13) совпадают с точными выражениями работ [1,2], полученными без учета магнитного насыщения. (Выражение i_d без учета насыщения можно получить из (8) при $a = 0$).

Подстановка (9), (11) в (2) с учетом (3) дает зависимость экстремальных значений электромагнитного момента от напряжения статора и синхронной скорости ω_0 в виде

$$|m| = \frac{\chi}{\sigma a^2} \left(1 - \sqrt{1 - \left(\frac{au}{\omega_0 L_{s0}} \right)^2} \right) \quad (14)$$

Из (14) видно, что за счет ограничения напряжения соотношением (4) электромагнитный момент также будет ограничен. Причем максимальное значение $|m|$ будет тем меньше, чем больше будет $|\omega_0|$. При малом $|u\omega_0^{-1}|$ путем применения разложения биннома можно получить

$$|m| \approx \frac{\chi}{2\sigma} \left(\frac{u}{\omega_0 L_{s0}} \right)^2 \quad (15)$$

Если пренебречь магнитным насыщением, то приближенное равенство (15) становится точным.

Потребляемые полная (P) и электромагнитная (P_{em}) мощности могут быть определены с помощью выражений (28) работы [6], (9), (11). При пренебрежении магнитным насыщением с использованием (12), (13), (15) можно получить

$$P = P_{em} + \omega m = \left(\frac{u}{\sqrt{2} \omega_0 L_{s0}} \right)^2 \left[(R_s + R_r L_{mr}^2) \sigma^{-2} + R_s + \alpha(\omega_0) L_{m0} + \frac{\chi}{\sigma} \omega \text{sign } m \right] \quad (16)$$

где ω - механическая угловая скорость ротора,

$$L_{mr} = \frac{L_m}{L_r} = \text{const} \approx 1$$

Поскольку $\omega \approx \omega_0$, то с учетом выражения χ из (6) развиваемая механическая мощность

$$P_m = \omega m \approx \frac{L_{m0}}{2\sigma(1 + \sigma_r) |\omega_0|} \left(\frac{u}{L_{s0}} \right)^2 \text{sign}(\omega m) \quad (17)$$

Как видно из (15)-(17), электромагнитный момент и мощность (с точностью до потерь в железе) обратно пропорциональны квадрату, а механическая мощность первой степени синхронной скорости. Подстановка в выражения (9)-(17) значения $|u| = u_{\max}$ позволяет определить предельные значения соответствующих переменных. Следует отметить на основании (16), что без учета потерь в стали мощности, рассеиваемые в статоре и роторе, пропорциональны между собой.

Выражения проекций тока (9), (11) зависят от статорного напряжения u . Для осуществления управления АД необходимо иметь их зависимости от потребного электромагнитного момента m . Для установления связи между u и m можно воспользоваться равенством (14), откуда

$$1 - \left(\frac{au}{\omega_0 L_{s0}} \right)^2 = \left(1 - \frac{\sigma a^2}{\chi} |m| \right)^2. \quad (18)$$

Подстановка (18) в (9), (11) дает искомые зависимости проекций токов от потребных электромагнитных моментов в виде

$$i_d = \sqrt{\frac{\sigma |m|}{\chi \left(1 - \frac{\sigma a^2}{\chi} |m| \right)}}, \quad i_q = \sqrt{\frac{|m|}{\sigma \chi}} \text{sign } m. \quad (19)$$

На основании (14) имеет место следующее ограничение электромагнитного момента:

$$|m| \leq \frac{\chi}{\sigma a^2} \left(1 - \sqrt{1 - \left(\frac{au_{\max}}{\omega_0 L_{s0}} \right)^2} \right). \quad (20)$$

В (19), $|m|$ - потребное значение электромагнитного момента, ограниченное соотношением (20), а сами выражения (19) обеспечивают минимум модуля напряжения при заданном электромагнитном моменте. При малом $|m|$ или при $a = 0$

$$i_d = \sqrt{\frac{\sigma |m|}{\chi}}, \quad i_q = \sqrt{\frac{|m|}{\sigma \chi}} \text{sign } m. \quad (21)$$

Интересным является то, что i_d и i_q из (19), (21) не зависят от скорости, а i_q не зависит от магнитного насыщения. Магнитное насыщение увеличивает ток i_d .

Как следует из выражения i_d в (19), магнитное насыщение накладывает следующее ограничение на электромагнитный момент:

$$|m| < \frac{\chi}{\sigma a^2}.$$

Выражения (19) и (28) работы [6] дают выражения мощностей с учетом магнитного насыщения, а именно,

$$P = P_{em} + \omega m = \left[\frac{\sigma R_s}{\left(1 - \frac{\sigma a^2}{\chi} |m| \right)} + \frac{R_s + R_r I_{mr}^2}{\sigma} + \chi \omega \text{sign } m \right] \frac{|m|}{\chi}. \quad (22)$$

(При получении (22) пренебрегли потерями в железе).

Таким образом, электромагнитная, механическая и полная мощности пропорциональны модулю электромагнитного момента.

В соответствии с (32) работы [6] и (19) для установившегося режима абсолютное скольжение

$$\Delta = \frac{i_q}{T_r i_d} = \frac{1}{T_r \sigma} \sqrt{1 - \frac{\sigma a^2}{\chi}} |m| \text{sign } m. \quad (23)$$

С учетом того, что $\sigma < 0.1$, сравнение (23) с (32) работы [6] показывает, что при больших $|\omega_0|$ модуль оптимального скольжения во много раз больше, чем модуль оптимального скольжения при малых $|\omega_0|$.

Работа системы при ограничениях напряжения и тока

В этом режиме также можно пренебречь падениями напряжения на активном сопротивлении статора по сравнению с противоЭДС. Ограничение по току описывается уравнением

$$i_d^2 + i_q^2 = i^2 \leq i_{\max}^2. \quad (24)$$

Решая совместно уравнения (5) при $|u| = u_{\max}$ и (24), получим

$$i_d = \left[1 - \sigma^2 - \left(\frac{au_{\max}}{\omega_0 L_{s0}} \right)^2 \right]^{-1/2} \left[\left(\frac{u_{\max}}{\omega_0 L_{s0}} \right)^2 - \sigma^2 i^2 \right]^{1/2}, \quad (25)$$

$$i_q = \left[1 - \sigma^2 - \left(\frac{au_{\max}}{\omega_0 L_{s0}} \right)^2 \right]^{-1/2} * \quad (26)$$

$$* \left\{ \left[1 - \left(\frac{au_{\max}}{\omega_0 L_{s0}} \right)^2 \right] i^2 - \left(\frac{u_{\max}}{\omega_0 L_{s0}} \right)^2 \right\}^{1/2} \text{sign } m.$$

Выражения (25), (26) накладывают следующие ограничения на реализуемость рассматриваемого режима работы:

$$\max \left\{ \frac{u_{\max} \sqrt{1 + (ai)^2}}{L_{s0} |i|}, \frac{au_{\max}}{L_{s0} \sqrt{1 - \sigma^2}} \right\} \leq |\omega_0| \leq \frac{u_{\max}}{\sigma L_{s0} |i|}. \quad (27)$$

Сравним члены в фигурных скобках в (27), учитывая, что они оба положительные.

$$\left(\frac{u_{\max} \sqrt{1 + (ai)^2}}{L_{s0} |i|} \right)^2 - \left(\frac{au_{\max}}{L_{s0} \sqrt{1 - \sigma^2}} \right)^2 = \left(\frac{u_{\max}}{L_{s0} |i|} \right)^2 \frac{1 - \sigma^2 (1 + a^2 i^2)}{1 - \sigma^2}$$

Таким образом, знак разности определяется знаком разности $1 - \sigma^2 (1 + a^2 i^2)$, которая всегда положи-

тельная. Следовательно, система неравенств (27) сводится к системе

$$\frac{u_{\max} \sqrt{1+(ai)^2}}{L_{s0}|i|} \leq |\omega_0| \leq \frac{u_{\max}}{\sigma L_{s0}|i|} \quad (28)$$

Выражения (25), (26) не устанавливают связь между необходимым электромагнитным моментом и токами i_d , i_q . Для устранения этого недостатка учтем, что для подавляющего большинства АД σ гораздо меньше 0.1. С учетом этого в (25) пренебрежем членами, пропорциональными σ^2 . Тогда

$$i_d = \left[1 - \left(\frac{au_{\max}}{\omega_0 L_{s0}} \right)^2 \right]^{-1/2} \frac{u_{\max}}{\omega_0 L_{s0}}. \quad (29)$$

i_q найдем из (2) с учетом (3), а именно, из выражения

$$m = \chi i_d i_q (1 + (a i_d)^2)^{1/2} \quad (30)$$

в виде

$$i_q = \frac{m}{\chi i_d} \sqrt{1 + (a i_d)^2}. \quad (31)$$

При этом должно выполняться неравенство, следующее из (24)

$$|i_q| \leq \sqrt{i_{\max}^2 - i_d^2}. \quad (32)$$

Выражения (29), (31) при $a=0$ (без учета магнитного насыщения) совпадают с широко распространенными выражениями намагничивающего и моментного токов в режиме ослабления магнитного потока. Приравнявая (26) и (31), можно найти соответствующее выражение i . Таким образом, траектория (29), (31) с точностью до σ^2 удовлетворяет траектории, соответствующей соотношениям (5) при $|u| = u_{\max}$ и (24), то есть они с точностью до σ^2 эквивалентны траектории (25), (26).

Выводы

1. Синтезированы простые выражения (19), (20), позволяющие формировать заданный электромагнитный момент с минимальным по модулю статорным напряжением с учетом насыщения магнитной цепи и ограничения напряжения.

2. Получены выражения (29), (31), (32), обеспечивающие формирование заданного электромагнитного момента с учетом насыщения магнитной цепи и ограничений по току и напряжению.

ЛИТЕРАТУРА

- Novotny D.W. and Lipo T.A. Vector Control and Dynamics of AC Drives.-Oxford: Clarendon Press, 1996.-440p.
- Vas P. Sensorless Vector and Direct Torque Control.-Oxford: Oxford University Press, 1998.-729p.
- Novotnak R.T., Chiasson J. and Bodson M. High-Performance Motion Control of an Induction Motor with Magnetic Saturation// IEEE Trans. Contr. Syst. Techn.-1999.-V.7,N3.-p.315-327
- Jul-Ki Seok and Seung-Ki Sul. Optimal Flux Selection of an Induction Machine for Maximum Torque Operation in Flux-Weakening Region// IEEE Trans. on Power Electronics.-1999.-V.14,N4.-p.700-708.
- Потапенко Е.Е., Потапенко Е.М. Синтез оптимальных алгоритмов управления асинхронным приводом с учетом нелинейностей// Вестник НТУ «ХПИ» Харьков. Сер. «Электротехника, электроника, электропривод».-2001.-Вып.10.-с.107-110.
- Потапенко Е.Е., Потапенко Е.М. Синтез экстремального робастного управления асинхронным приводом // Технічна електродинаміка. Тематичний випуск “Проблеми сучасної електротехніки”. Част.6.-Київ: Ін-т електродинаміки, 2000.-с.34-36.